

بررسی یک مدل رئولوژیکی برای آمیخته‌های پلیمری امتزاچ‌پذیر و ارزیابی آن با داده‌های تجربی

Investigation of a Rheological Model for Miscible Polymer Blends and
Its Evaluation with Experimental Data

حسن اسلامی^۱، احمد رمضانی سعادت‌آبادی^۲، حسین علی خنکدار سنجده^۱

۱- تهران، پژوهشگاه پلیمر ایران، صندوق پستی ۱۴۹۹۵/۱۵۹

۲- تهران، دانشگاه صنعتی شریف، دانشکده مهندسی شیمی، صندوق پستی ۱۱۳۶۵/۸۶۳۹

دریافت: ۱۴۰۹/۱۷/۸۰، پذیرش: ۱۴۰۹/۱۸/۸۰

چکیده

در این پژوهش، یک مدل رئولوژیکی برای آمیخته‌های پلیمری امتزاچ‌پذیر با استفاده از روش عمومی بوسون-براکت بررسی شده است. شرط محدود کننده مدل این است که دترمینان تانسور صورت‌بندي برابر مقادار ثابت است. فرمولبندي کلی با استفاده از یک تانسور تحرک‌پذیری اصلاح شده و یک تابع انرژی، که تابعی از تانسور صورت‌بندي است، معرفی شده است. تابع انرژی استفاده شده در این مدل‌سازی از نوع هوکین است، پيش‌بيني مدل برای خواص نوعی ماده در جریان پوشش در آزمایش‌های آغاز، آسودگی و جریان پوششی است. حالات پایدار بررسی و مورده تحلیل قرار گرفته است. این مدل می‌تواند خصوصیات مختلف نوعی ماده از جمله گرانشی، ضراوب اولین و دومین اختلاف تنشی‌ای نرمال را پيش‌بینی کند. همچنان، پيش‌بینی مدل با داده‌های تحریبی برای آمیخته امتزاچ‌پذیر HDPE/LDPE مقایسه شده است.

واژه‌های کلیدی: مدل‌سازی، تانسور، آمیخته‌های پلیمری، تابع انرژی، تحرک‌پذیری

Key Words: modeling, tensor, polymer blends, energy function, mobility

مقدمه

رفتار تنش، تغییر شکل و سرعت تغییر شکل در پلیمرهاست. برای مدل کردن رفتار سیالات ویسکوالاستیک، روش‌های

متفاوتی توسعه یافته است که از آن جمله می‌توان مدل‌های ویسکوالاستیک خطی و غیرخطی را نام برد. در مورد مدل‌های ویسکوالاستیک خطی می‌توان از مدل‌های ماکسول و جفری یاد کرد که این مدل‌ها به دلیل محدودیت‌هایی که دارند، از جمله اینکه فقط جوابگوی

مطالعه رفتار پلیمرها در جریان‌های مختلف در فرایندهای شکل‌دهی و انتقال سیالات پلیمری نیاز به روابط ریاضی حاکم بر رفتار سیال دارد. بیان رفتار رئولوژیکی پلیمرها به صورت روابط ریاضی، مدل‌سازی رفتار پلیمر نامیده می‌شود. در واقع، مدل‌سازی یافتن رابطه‌ای ریاضی بین

* مسئول مکاتبات، بیان‌گزار: H.Eslami@proxy.ipi.ac.ir

گسترش یافته بدين منظور روش عمومی پواسون - برآكت است [۸،۹] براساس روش ياد شده متغير ديناميکي داخلی سیستم $F(u, c, s)$ تابعی از چگالی اندازه حرکت α ، تصور صورتندی c و آنتروپی سیستم s است، که تغییرات آن با زمان توسط معادلی کلی زیر بیان می شود [۱۰] .

$$\frac{dF}{dt} = \{[F, H]\} \quad (2)$$

در معادله فوق H نشان دهنده هامیلتونی سیستم و $\{ \cdot \}$ نشان دهنده برآكت عمومی است، که در بردارنده فرایندهای فیزیکی مخصوصاً توزیع فضای پیکربندی (configuration) می شود. اگر تابع توزیع فضای پیکربندی را با ψ و فضای صورتندی را با c نشان دهیم. می توان گفت که فضای صورتندی ممان دوم تابع توزیع فضای پیکربندی است و رابطه ریاضی زیر برای آن برقرار است [۲-۴] :

$$\{[F, H]\} \equiv \{F, H\} + [F, H] \quad (3)$$

در معادله ۳، $\{ \cdot \}$ بیانگر برآكت پواسون و $\{ \cdot \}$ نشانگر برآكت الاف است، که برای سیالات ویسکوالاستیک تراکم ناپذیر بترتیب با معادلات زیر بیان می شوند [۱۱-۱۲] :

$$\begin{aligned} \{F, H\} = & - \int_{\Omega} \left[\frac{\partial F}{\partial M_{\gamma}} \nabla_{\beta} \left(\frac{\partial H}{\partial M_{\beta}} M_{\gamma} \right) - \frac{\partial H}{\partial M_{\gamma}} \nabla_{\beta} \left(\frac{\partial F}{\partial M_{\beta}} M_{\gamma} \right) \right] d^3 x \\ & - \int_{\Omega} \left[\frac{\partial F}{\partial c_{\alpha\beta}} \nabla_{\gamma} \left(c_{\alpha\beta} \frac{\partial H}{\partial M_{\gamma}} \right) - \frac{\partial H}{\partial c_{\alpha\beta}} \nabla_{\gamma} \left(c_{\alpha\beta} \frac{\partial F}{\partial M_{\gamma}} \right) \right] d^3 x \\ & - \int_{\Omega} c_{\gamma\alpha} \left[\frac{\partial H}{\partial c_{\alpha\beta}} \nabla_{\gamma} \left(\frac{\partial F}{\partial M_{\beta}} \right) - \frac{\partial F}{\partial c_{\alpha\beta}} \nabla_{\gamma} \left(\frac{\partial H}{\partial M_{\beta}} \right) \right] d^3 x \\ & - \int_{\Omega} c_{\gamma\beta} \left[\frac{\partial H}{\partial c_{\alpha\beta}} \nabla_{\gamma} \left(\frac{\partial F}{\partial M_{\alpha}} \right) - \frac{\partial F}{\partial c_{\alpha\beta}} \nabla_{\gamma} \left(\frac{\partial H}{\partial M_{\alpha}} \right) \right] d^3 x \end{aligned} \quad (4)$$

$$\begin{aligned} [F, H] = & \int_{\Omega} \Lambda_{\alpha\beta\gamma\varepsilon} \frac{\partial F}{\partial c_{\alpha\beta}} \frac{\partial H}{\partial c_{\gamma\varepsilon}} d^3 x \\ & - \int_{\Omega} \beta_{\alpha\beta\gamma\varepsilon\eta\nu} \nabla_{\gamma} \frac{\partial F}{\partial c_{\alpha\beta}} \nabla_{\nu} \frac{\partial H}{\partial c_{\eta\varepsilon}} d^3 x \\ & - \int_{\Omega} Q_{\alpha\beta\gamma\varepsilon} \nabla_{\alpha} \frac{\partial F}{\partial M_{\beta}} \nabla_{\gamma} \frac{\partial H}{\partial M_{\varepsilon}} d^3 x \\ & - \int_{\Omega} \omega_{\alpha\beta\gamma\varepsilon} \left[\nabla_{\alpha} \frac{\partial F}{\partial M_{\beta}} \frac{\partial H}{\partial c_{\gamma\varepsilon}} - \nabla_{\alpha} \frac{\partial H}{\partial M_{\beta}} \frac{\partial F}{\partial c_{\gamma\varepsilon}} \right] d^3 x \end{aligned} \quad (5)$$

تغییر شکلهای کوچک است، برای فرایندهای پیلیری با تغییر شکل پنهانی قابل استفاده نیستند [۱] در مورد مدلها ویسکوالاستیک غیرخطی می توان مدلها از نوع دیفرانسیلی و انتگرالی و مدلها از نوع صورتندی (conformation) نام برد. بحث در مورد مدلها دیفرانسیلی و انتگرالی خارج از حوصله این مقاله است، اما مدلها از نوع صورتندی به نوبه خود می توانند به دو دسته زیر تقسیم شوند:

- مدلها که در آنها طول زنجیر پیلیری ثابت فرض می شود
 - مدلها که در آنها حجم زنجیر پیلیری ثابت فرض می شود.
- در این نوع مدلها زنجیرها و حالات قرار گرفتن آنها به وسیله تابع توزیع فضای پیکربندی (configuration) مشخص می شود. اگر تابع توزیع فضای پیکربندی را با ψ و فضای صورتندی را با c نشان دهیم. می توان گفت که فضای صورتندی ممان دوم تابع توزیع فضای پیکربندی است و رابطه ریاضی زیر برای آن برقرار است [۲-۴] :

$$c_{\alpha\beta} = \int R_{\alpha} R_{\beta} \psi(R) dR \quad (6)$$

اگر c نشانگر آرایش زنجیرهای مولکولی باشد، وقیع $\text{tr}c$ ثابت باشد (منظور از $\text{tr}c$ مجموع عناصر روی قطر اصلی ماتریس صورتندی است)، می توان گفت که طول زنجیرهای پیلیری در خلال تغییر شکل سیال ثابت می ماند. این مدل، مدل طول زنجیر پیلیری ثابت نامیده می شود [۵] .

در صورتی که دترمینان ماتریس صورتندی ثابت باشد، می توان گفت که حجم زنجیرهای پیلیری در خلال تغییر شکل سیال ثابت می ماند. این مدل، به مدل حجم ثابت (volume-preserving) یا مدل شبه لیاونوف (Iconov-like) مشهور است [۶]. از میان نمونه کارهایی که در زمینه مدل حجم ثابت ارائه شده است می توان به مدل FENECP و مدلها از نوع ارزی هوکن اشاره کرد [۷]. در این پژوهش، مدلی برای پیلیرهای امتراح پذیر از نوع حجم ثابت برای پیش‌بینی رفتارهای رئولوژیکی آنها توسعه داده شده است.

اساس نظری

مدل‌سازی جریان سیالات تراکم ناپذیر در جریانهای مختلف نیازمند معادلاتی است که بتواند رفتار سیالات را در جریانهای مختلف گذرا و دائمی در شکلهای هندسی مورد نظر پیش‌بینی کند. برای سیالات نیوتی این امر با بکارگیری رابطه خطی موجود بین تنش و سرعت تغییر شکل امکان پذیر است، اما عدم وجود یک معادله خاص که بتواند بدرستی رفتار بین تنش و سرعت تغییر شکل را برای سیالات ویسکوالاستیک مختلف پیش‌بینی کند، باعث شده است که معادلات مختلفی با استفاده از روش‌های متفاوت برای این منظور گسترش بابند [۱،۸]. یکی از روش‌های

آرایش قطرات در محلول‌های پلیمری یا حتی تغییر شکل کلی سیستم نام برده، مفید است.

در مورد مدل‌هایی که در آنها تansور صورت‌بندی به عنوان متغیر ساختاری یکار می‌رود، در صورتی که دترمینان c برابر با مقدار ثابت به عنوان یک شرط درنظر گرفته شود، مدل حاصل حجم ثابت نامیده می‌شود [۱۲]. در این حالت، سیال مشکل از قطراتی درنظر گرفته می‌شود که با وجود این شرط، حجم قطرات در خلال هرگونه تغییر شکل ثابت باقی می‌ماند.

تعیین پارامترهای ϕ و Λ به نحوی که دترمینان c ثابت باشد مشکل است، در صورتی که شرایط مدل به گونه زیر اصلاح گردد به ازای هر انتخابی برای هر یک از این دو متغیر، شرط دترمینان c ثابت، برقرار است [۹]:

$$\text{ا: } \frac{\partial \phi}{\partial c} = \text{ا: } \frac{\partial \phi}{\partial c} - \frac{1}{2} \text{tr} [c^{-1} \cdot \text{ا: } \frac{\partial \phi}{\partial c}] c \quad (10)$$

بنابراین، امکان توسعه حجم وسیعی از مدل‌های حجم ثابت برای تغییر ϕ وجود می‌آید. مدل بالا با انتخابی مناسب برای تابع انرژی سیستم ϕ و تansور حرکت‌پذیری Λ قابل استفاده است.

برای تعیین تansور حرکت‌پذیری، بریس و ادواردز یک عبارت کلی را به صورت زیر ارائه داده‌اند [۸]:

$$\text{ا: } \alpha_{\beta\gamma\epsilon} = a_1(\delta_{\alpha\beta}\delta_{\gamma\epsilon} + a_2(\delta_{\alpha\gamma}\delta_{\beta\epsilon} + \delta_{\alpha\epsilon}\delta_{\beta\gamma}) + a_3(c_{\alpha\beta}\delta_{\gamma\epsilon} + \delta_{\alpha\beta}c_{\gamma\epsilon}) + a_4(c_{\alpha\gamma}\delta_{\beta\epsilon} + c_{\alpha\epsilon}\delta_{\beta\gamma} + \delta_{\alpha\gamma}c_{\beta\epsilon} + \delta_{\alpha\epsilon}c_{\beta\gamma}) + a_5c_{\beta\alpha}c_{\gamma\epsilon} + a_6(c_{\alpha\gamma}c_{\beta\epsilon} + c_{\alpha\epsilon}c_{\beta\gamma}) + a_7(c_{\alpha\mu}c_{\mu\beta}c_{\gamma\epsilon} + c_{\alpha\mu}c_{\mu\gamma}c_{\beta\epsilon} + c_{\alpha\mu}c_{\mu\beta}c_{\gamma\epsilon} + a_8(c_{\alpha\mu}c_{\mu\beta}c_{\mu\gamma} + c_{\alpha\mu}c_{\mu\beta}c_{\mu\epsilon}) + a_9(c_{\alpha\mu}c_{\mu\gamma}c_{\beta\epsilon} + c_{\alpha\mu}c_{\mu\epsilon}c_{\beta\gamma} + \delta_{\alpha\gamma}c_{\beta\mu}c_{\mu\epsilon} + \delta_{\alpha\epsilon}c_{\beta\mu}c_{\mu\gamma}) + a_{10}(c_{\alpha\eta}c_{\eta\beta}c_{\beta\mu}c_{\mu\epsilon} + c_{\alpha\eta}c_{\eta\beta}c_{\beta\mu}c_{\mu\gamma}) + a_{11}c_{\alpha\eta}c_{\eta\beta}c_{\eta\mu}c_{\mu\epsilon} + a_{12}(c_{\alpha\eta}c_{\eta\beta}c_{\beta\mu}c_{\mu\epsilon} + c_{\alpha\eta}c_{\eta\beta}c_{\beta\mu}c_{\mu\gamma}) \quad (11)$$

بررسی مدل برای آمیخته‌های پلیمری امتزاج‌پذیر برای بررسی یک مدل از نوع حجم ثابت برای آمیخته‌های پلیمری امتزاج‌پذیر، تابع انرژی هر یک از اجزا به صورت زیر بیان می‌شود [۹]

$$\Phi_i = \frac{\lambda_i}{2} [\text{tr}(\frac{\delta - c_i^{-1}}{2})]^2 + M_i[\text{tr}(\frac{\delta - c_i^{-1}}{2})]^2 \quad (12)$$

در اثر اختلاط آمیخته پلیمری دو جزئی، یک جمله به تابع انرژی سیستم اضافه می‌شود، این جمله که به تابع انرژی اثر اختلاط معروف است به صورت زیر بدست آمده است:

در معادله‌های ارائه شده M اندازه حرکت ذرات و c معرف تansور صورت‌بندی است. انتگرال اول در معادله آخر نشان دهنده پدیده‌های آسودگی در سیالات ویسکوالاستیک است، از این جهت Λ اساساً معکوس زمان استراحت ذرات تشکیل دهنده سیستم است. انتگرال دوم تاثیر نفوذ انتقالی غیر ایزوتروپ را بیان می‌کند که معمولاً برای سیالات ویسکوالاستیک درنظر گرفته نمی‌شود، بنابراین Λ صفر فرض می‌شود. سومین انتگرال نشان دهنده اتفاق ویسکوز است، که متناسب با ماتریس غیرایزوتروپ گرانزوی O است. آخرین انتگرال نشان دهنده تاثیرات اضافی بین گرادیان سرعت و تansور صورت‌بندی است [۵، ۱۰]. با استفاده از معادلات ذکر شده، معادلات مربوط به تغییرات تansور صورت‌بندی در سیالات ویسکوالاستیک با زمان و تغییرات تansور تنش σ بترتیب به صورت زیر بیان می‌شود [۸]:

$$\frac{\partial c_{\alpha\beta}}{\partial t} = -\rho v_\gamma \nabla_\gamma c_{\alpha\beta} + c_{\alpha\gamma} \nabla_\gamma v_\beta + c_{\beta\gamma} \nabla_\gamma v_\alpha - \Lambda_{\alpha\beta\gamma\epsilon} : \quad (6)$$

$$\frac{\partial \phi}{\partial c_{\alpha\beta}} + L_{\alpha\beta\gamma\epsilon} \Delta_\gamma v_\epsilon \\ \sigma_{\alpha\beta} = Q_{\alpha\beta\gamma\epsilon} \nabla_\gamma v_\epsilon + 2c_{\beta\gamma} \frac{\partial \phi}{\partial c_{\alpha\gamma}} + 2L_{\alpha\beta\gamma\epsilon} \frac{\partial \Lambda}{\partial c_{\alpha\gamma}} \quad (7)$$

در معادلات بالا Λ تابع انرژی آزاد هلمولتز و ϕ انرژی کل سیستم است که به هامیلتونی سیستم ارتباط دارند، این معادلات می‌توانند برای مدل‌سازی اکثر سیالات ویسکوالاستیک به عنوان مبنای قرار گیرند و می‌توان با تغییر تansور صورت‌بندی ، σ تغییر هامیلتونی سیستم و تغییر عملگرهای L, Q و Λ مدل‌های مختلفی را ارائه کرد.

با فرض اینکه دو تansور Q و L برای سیستم سیالات ویسکوالاستیک صفر درنظر گرفته شوند، معادلات ۶ و ۷ به صورت زیر بازنویسی می‌شوند [۹]:

$$\frac{\partial c_{\alpha\beta}}{\partial t} = \frac{1}{2} (\dot{v} \cdot c + c \cdot \dot{v})_{\alpha\beta} - \frac{1}{2} (\omega \cdot c - c \cdot \omega)_{\alpha\beta} - \Lambda_{\alpha\beta\gamma\epsilon} : \frac{\partial \phi}{\partial c_{\gamma\epsilon}} \quad (8)$$

$$\sigma = -2c_{\alpha\beta} \frac{\partial \phi}{\partial c_{\alpha\beta}} \quad (9)$$

در معادلات بالا \dot{v} تansور شدت برش، c تansور صورت‌بندی ، ω سرعت برش، Λ تansور حرکت‌پذیری، ϕ انرژی کل سیستم و σ تansور تنش اند.

تجربه نشان می‌دهد که علاوه بر شرایط مورد نیاز در استخراج معادلات بالا، اعمال بعضی از قبود بر چگونگی تغییرات تansور صورت‌بندی ، که از آن می‌توان نابر شرایط کاربردی تفاسیر متفاوتی چون آرایش میکروسکوپی درشت مولکولهای موجود در سیستم،

$$\Phi_{17} = \frac{\lambda_{17}}{2} \left[\ln\left(\frac{\delta - c_1^{-1}}{2}\right) \ln\left(\frac{\delta - c_7^{-1}}{2}\right) + M_{17} \ln\left(\frac{\delta - c_1^{-1}}{2}\right) \right] + M_{17} \ln\left(\frac{\delta - c_7^{-1}}{2}\right)$$

$$+ \frac{(\delta - c_7^{-1})}{2}$$

از طرفی، برای یک آبخته پلیمری دو جزئی تابع کلی ارزشی به صورت زیر بدست آمده است:

$$\Phi = \alpha^* \Phi_1 + (1-\alpha)^* \Phi_7 + 2\alpha(1-\alpha) \Phi_{17} \quad (18)$$

در معادلات بالا، M_{17} و λ_{17} پارامترهای مدل آند که برای هر آبخته پلیمری انتخاب پذیر بودست می‌آیند. پارامترهای M و λ به ترتیب به جرم مولکولی پلیمر و زمان آسودگی پلیمر ارتباط دارند.

روش حل معادلات

در توسعه مدل برای آبخته‌های پلیمری انتخاب پذیر، معادله دیفرانسیل ۸ یا بد برای هر یک از اجزای ۱ و ۲ بصور همزمان حل شود، تا براین معادله فوق برای هر جزء به صورت زیر بیان می‌شود:

$$\frac{\partial G_i}{\partial t} = \frac{\lambda}{2} (\dot{\gamma} c_i + c_i \dot{\gamma}) - \frac{\lambda}{2} (G_i c_i - c_i G_i) \quad (15)$$

در معادله بالا عبارت G_i برای هر یک از اجزا از معادله ۱۰ بدست می‌آید. معادلات دیفرانسیل بالا که یک دستگاه معادلات دیفرانسیل معمولی است، برای یک جرم با بررسی ساده باش را بروجول شده است:

$$\dot{\gamma}(t) = \dot{\gamma} \begin{pmatrix} 0 & 1 & 0 \\ 1 & 0 & 0 \\ 0 & 0 & 0 \end{pmatrix} \quad (16)$$

$$G_i(t) = \dot{\gamma} \begin{pmatrix} 0 & 1 & 0 \\ -1 & 0 & 0 \\ 0 & 0 & 0 \end{pmatrix} \quad (17)$$

$$c_i(t) = \begin{pmatrix} 1 & 0 & 0 \\ 0 & 1 & 0 \\ 0 & 0 & 1 \end{pmatrix} \quad (18)$$

که در آن لازمت است برخشناس است. تابع c_i به صورت زیر بیان می‌شود:

$$\sigma = -2 \sum c_i \frac{\partial \Phi}{\partial c_i} \quad (19)$$

تمام معادلات حاصل اعم از معادلات دیفرانسیل ۱۵ برحسب تابع c_1 و c_7 آند. برای حل معادلات بالا برنامه کامپیوتری با استفاده از نرم افزار Mathematica با قابلیت تغییر تابع ارزشی به شکل دلخواه نوشته شده است.

بعد از حل دسته معادلات دیفرانسیل (به روش راجح کوتای مرتبه چهار) و بدست آوردن عناصر تابع c_1 و c_7 صورتی در زمانهای مختلف برای آزمایش‌های آغاز (Start-up) و آسودگی (Relaxation) خواص نوعی مواد به صورت زیر بدست می‌آیند:

$$\eta^*_{17}(t) = -\frac{\sigma_{12}}{\dot{\gamma}} \quad (20)$$

$$\psi_1(t) = -\frac{\sigma_{11} - \sigma_{22}}{\dot{\gamma}^2} \quad (21)$$

$$\psi_7(t) = -\frac{\sigma_{22} - \sigma_{44}}{\dot{\gamma}^2} \quad (22)$$

در روابط بالا (۲۰) اجزای تابع c_1 و c_7 از معادله ۱۹ محاسبه می‌شوند، همچنین، σ_{11} و σ_{22} به ترتیب گرانروی و اولین و دومین ضرایب اختلاف تابع c_1 و c_7 می‌باشند. علامت «-» نشان دهنده خواص تابع ماده در آزمایش آسودگی است.

در جریان بررسی حالت پایدار گرانروی و اولین و دومین ضرایب اختلاف تابع c_1 و c_7 با معادلات زیر بیان می‌شوند:

$$\eta(\dot{\gamma}) = -\frac{\sigma_{12}}{\dot{\gamma}} \quad (23)$$

$$\psi_1(\dot{\gamma}) = -\frac{\sigma_{11} - \sigma_{22}}{\dot{\gamma}^2} \quad (24)$$

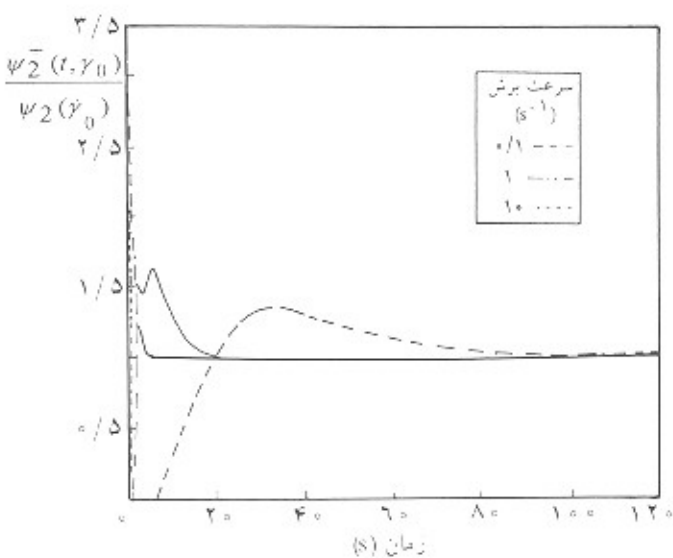
$$\psi_7(\dot{\gamma}) = -\frac{\sigma_{22} - \sigma_{44}}{\dot{\gamma}^2} \quad (25)$$

در نتیجه، متغیرهای گرانروی و اولین و دومین ضرایب اختلاف تابع c_1 و c_7 سرعت برخشناس بدست می‌آیند، که نحوی رفتار رئولوژیکی مواد پلیمری را بیان می‌کند.

نتایج و بحث

پیش‌بینی مدل

شکل‌های ۱ تا ۳ ترتیب اثر سرعت برخشناس بر گرانروی و اولین و دومین ضرایب اختلاف تابع c_1 و c_7 را برای $M_1 = 100$ ، $M_2 = 100$ ، $\lambda_1 = 100$ ، $\lambda_2 = 100$ ، $\lambda_{17} = 100$ ، $\sigma_{12} = 1000$ و $\dot{\gamma} = 1000$ نشان می‌نمایند.

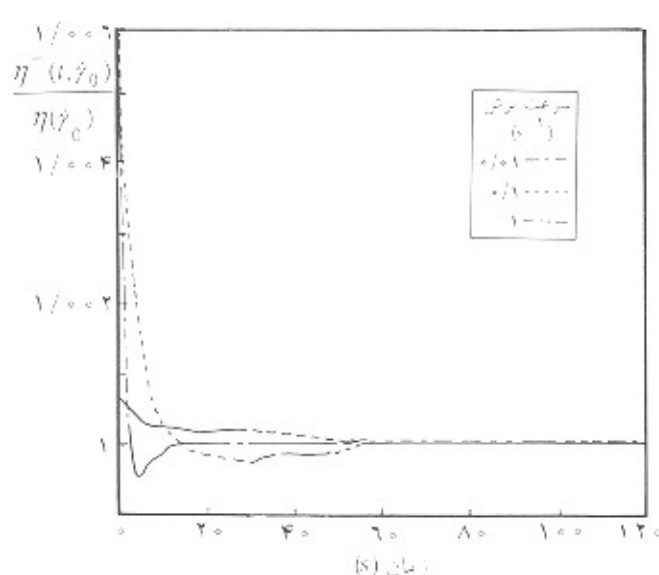


شکل ۳- اثر سرعت برش بر دوین ضریب اختلاف تشهیای نرمال در آزمایش آغاز.

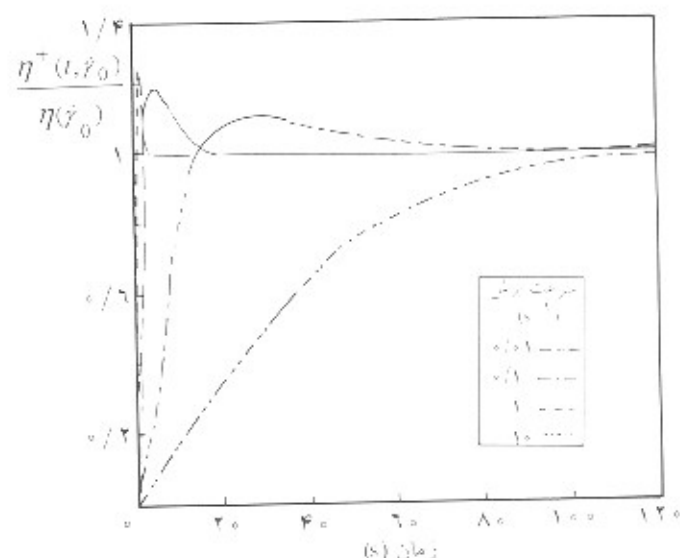
شکل‌های ۷ تا ۹ نتیجه اثر پارامتر تاسور تحرکی برش بر گرانروی و اولین و دوین ضرایب اختلاف تشهیای نرمال را برای اولین و دوین ضرایب اختلاف تشهیای نرمال زیر: $M_1 = 100$, $M_2 = 100$, $M_3 = 100$, $M_4 = 100$, $M_{12} = 100$, $\lambda_1 = 100$, $\lambda_2 = 100$, $\lambda_3 = 100$, $\lambda_4 = 100$, $\lambda_{12} = 100$ در حریان برشی حالت پایدار نشان می‌دهد.

مقایسه پیش‌بینی مدل با داده‌های بحری

شکل ۱۰ مقایسه بین پیش‌بینی مدل با داده‌های تحریی برای آبخزه

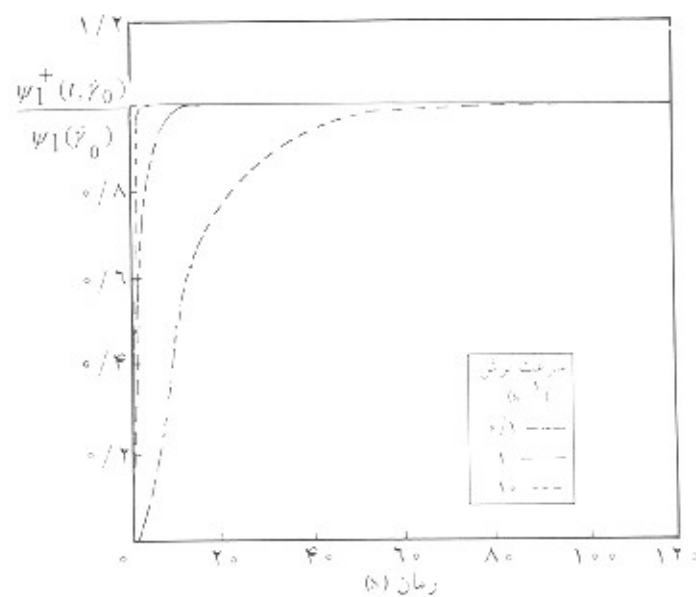


شکل ۴- اثر سرعت برش بر گرانروی در آزمایش آسودگی.

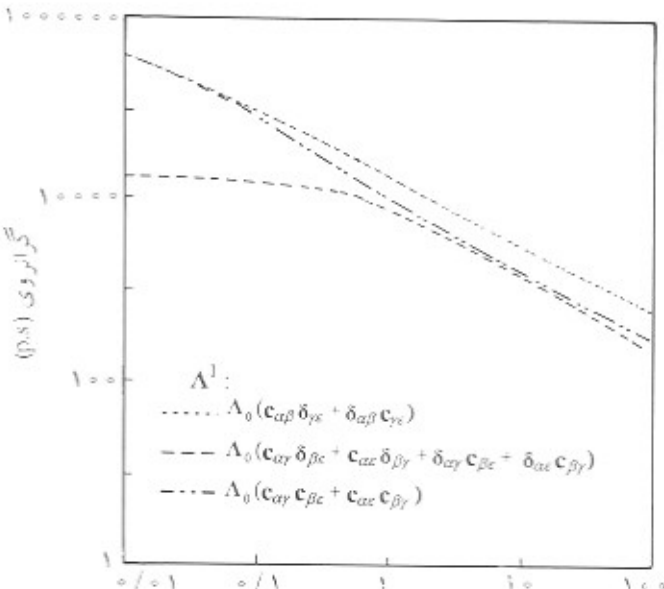


شکل ۱- اثر سرعت برش بر گرانروی در آزمایش آغاز.

آنها $M_1 = 100$ و $M_2 = 100$ در آزمایش آغاز نشان می‌دهد. که در پیغمبر اول است. شکل‌های ۴ تا ۶ نتیجه اثر سرعت برش بر گرانروی و اولین و دوین ضرایب اختلاف تشهیای نرمال را برای اولین و دوین ضرایب اختلاف تشهیای نرمال زیر: $M_1 = 100$, $M_2 = 100$, $M_{12} = 100$, $\lambda_1 = 100$, $\lambda_2 = 100$, $\lambda_{12} = 100$, $A = 0/75$ و $8,2 = 0/100$ در حالت آزمایش آسودگی نشان می‌دهد.



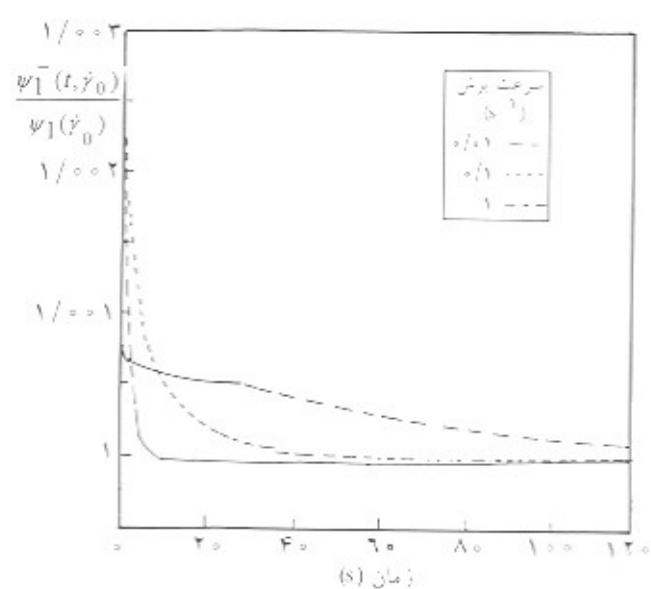
شکل ۲- اثر سرعت برش بر اولین ضریب اختلاف تشهیای نرمال در آزمایش آغاز.



شکل ۷- اثر پارامتر تحرک کپلری بر سگر انروی در حریان برشی حالت پایدار.

می دهد [۱۲]. پارامترهای مدل برای این آبیخته به صورت می دهد [۱۳]. پارامترهای مدل برای این آبیخته به صورت $M_{12}=2000$ ، $M_2=2000$ ، $M_3=10000$ ، $\lambda_1=300000$ ، $M_{12}=10000$ ، $M_2=3000$ ، $M_3=10000$ ، $\lambda_1=500000$ ، $\lambda_2=10000$ ، $\lambda_3=400000$ ، $\alpha=0/00005$ و $\beta=0/00011$ بدست آمده است.

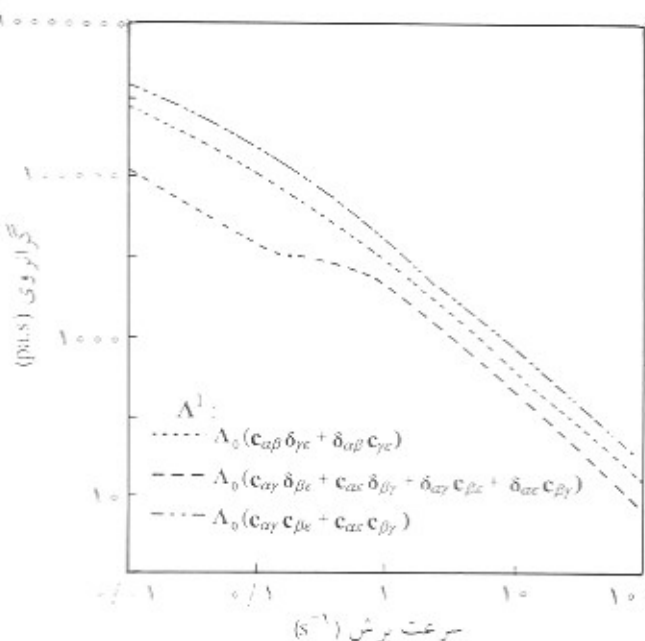
شکل ۱۲ مقایسه پیش‌بینی مدل با داده‌های تحریکی برای آبیخته



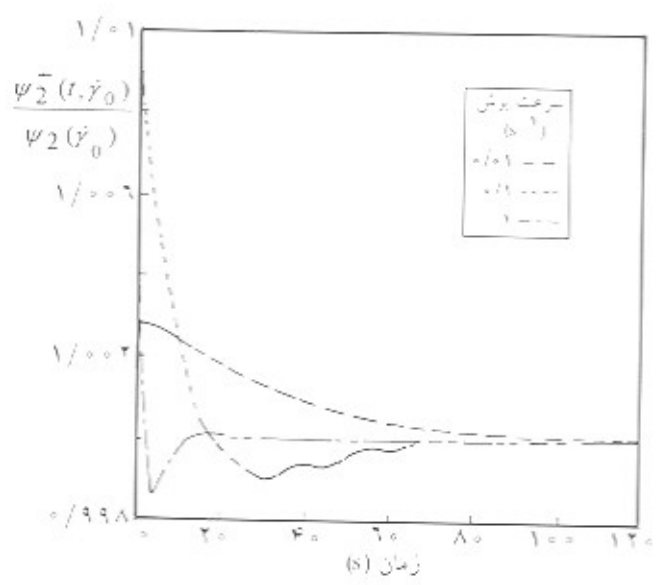
شکل ۵- اثر سرعت برش بر اولین ضرب اختلاف تنشهای نرمال در آزمیش آسودگی.

امراج پذیر HEPE/LDPE را که دارای ۲۵ درصد نشان می دهد [۱۲]. پارامترهای مدل برای این آبیخته به صورت $M_{12}=2000$ ، $M_2=2000$ ، $M_3=10000$ ، $\lambda_1=300000$ ، $M_{12}=10000$ ، $M_2=3000$ ، $M_3=10000$ ، $\lambda_1=500000$ ، $\lambda_2=10000$ ، $\lambda_3=400000$ ، $\alpha=0/00005$ و $\beta=0/00011$ بدست آمده است.

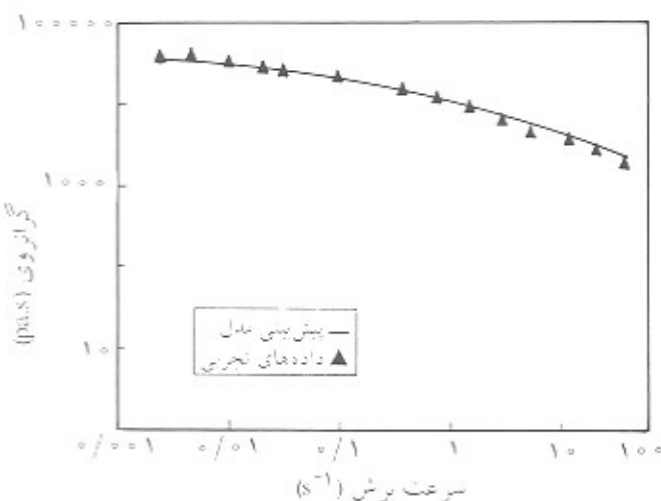
شکل ۱۱ مقایسه پیش‌بینی مدل با داده‌های تحریکی برای آبیخته امراج پذیر HEPE/LDPE را که دارای ۵۰ درصد نشان



شکل ۸- اثر پارامتر تاسور تحرک کپلری بر اولین ضرب اختلاف تنشهای نرمال در حریان برشی حالت پایدار.



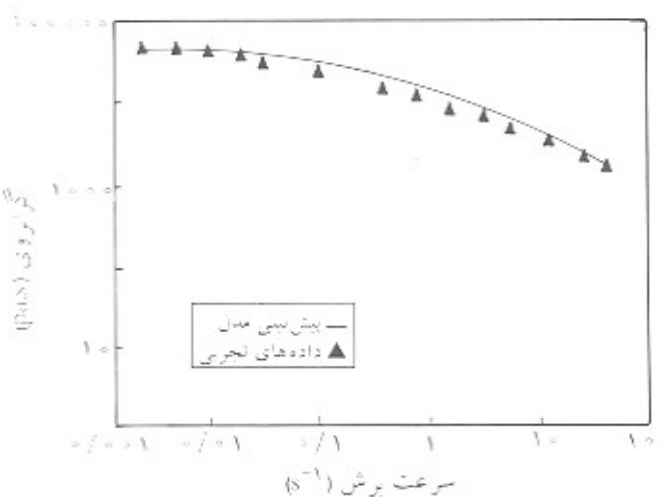
شکل ۶- اثر سرعت برش بر دوین ضرب اختلاف تنشهای نرمال در آزمیش آسودگی.



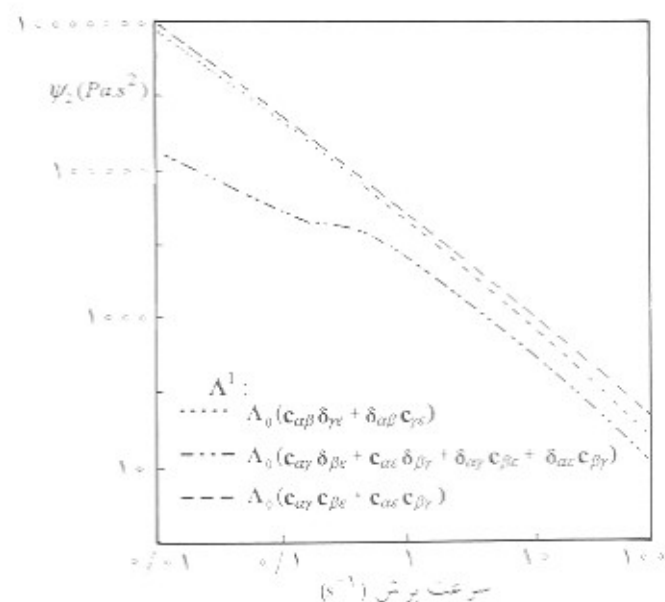
شکل ۱۱ - مقایسه پیش‌بینی مدل با داده‌های تحریکی برای آباده HDPE/LDPE با درصد اختلاط ۵۰/۵۰.

سرعتهای برش کم به صورت یکواخت افزایش می‌باشد. ولی در سرعتهای برش بالا اینداگر انرژی زیاد می‌شود و سپس کاهش می‌باشد و در مقدار معینی ثابت می‌شود، به عبارت ساده‌تر، منحنی حاصل دارای یک فرارفت (Overshoot) است. همچنین، مقایسه این فرارفتها نشان می‌دهد که با افزایش سرعت برش این مقدار ممکن است، در مساحی گرانروی برحسب زمان، در زمانهای کمتری اتفاق می‌افتد. نتایج شاهد را می‌توان برای اولین و دومین ضرایب اختلاف نشانی نومال بانگرد (شکلهاي ۲ و ۳).

نتایج شکل ۴ نشان می‌دهد که با تغییر زمان گرانروی طور یکواخت کاهش می‌باشد. با افزایش سرعت برش زمان لازم برای رسیدن



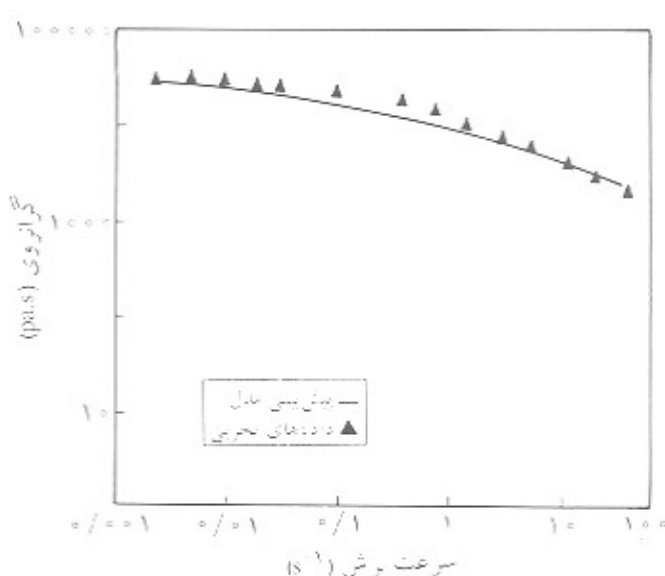
شکل ۱۲ - مقایسه پیش‌بینی مدل با داده‌های تحریکی برای آباده HDPE/LDPE با درصد اختلاط ۷۵/۲۵.



شکل ۹ - اثر پارامتر تانسور تحرک پلیمری بر دو مس ضربت اختلاف نشانهای نومال در جزیاک برتری حالت بایدار.

اضراج پذیر HEPE/LDPE را که دارای ۷۵ درصد HDPE است نشان می‌دهد [۱۲] پارامترهای مدل برای این آباده به صورت $M_{14}=30000$, $M_4=3000$, $M_3=10000$, $M_{12}=8500$, $M_{11}=400000$, $M_{13}=500000$ بدست آمده است.

نتایج شکل ۱ نشان می‌دهد که با تغییر زمان، گرانروی در



شکل ۱۰ - مقایسه پیش‌بینی مدل با داده‌های تحریکی برای آباده HDPE/LDPE با درصد اختلاط ۲۵/۷۵.

این مدل می‌توان به کاربرد آن برای پلیمرهای امتراج پذیر مختلف اشاره کرد، که با بدست آوردن پارامترهای مدل، پیش‌بینی درستی از رفتار رئولوژیکی آن سیستم در محدوده‌های مختلف سرعت برش می‌توان بعمل آورد. همچنین، مقایسه پیش‌بینی مدل با داده‌های تحریک نشان می‌دهد که مدل پیش‌بینی قابل قبولی از رفتار رئولوژیکی آمیخته‌های پلیمری امتراج پذیر ارائه می‌کند.

به حالت پایدار کاهش می‌باشد. نتایج مشابهی را می‌توان برای اولین و دومین ضرایب اختلاف تنشهای نرمال بیان کرد (شکل‌های ۵ و ۶).

نتایج شکل ۷ نشان می‌دهد که انتخاب پارامتر تانسور تحرک پذیری تاثیر زیادی بر گرانروی دارد. با تغییر عبارت^۱، از شواهد پیداست که شب خط در ناحیه قانون تووانی، زمانی که تانسور تحرک پذیری از مرتبه اول نسبت به صورت‌بندی است، نتایج خوبی بدست می‌دهد. نتایج مشابهی را می‌توان برای اولین و دومین ضرایب اختلاف تنشهای نرمال بیان کرد (شکل‌های ۸ و ۹).

نتایج کلی زیر از مقایسه شکل‌های ۱-۳ در آزمایش آغاز بدست می‌آید:

- در سرعتهای برش یکسان، زمانی که یک نقطه ماکسیمم در منحنیها اتفاق می‌افتد، این زمان در منحنیهای ۲ و ۱، لایشتراز منحنی ۶ است. به عبارت دیگر، در سرعتهای برش یکسان، در منحنی گرانروی نسبت به منحنیهای ۲ و ۱ زودتر به نقطه ماکسیمم می‌رسیم، یعنی در منحنی گرانروی زمانی که در آن فرارفت اتفاق می‌افتد کمتر است.

- افزایش^۲ ۲ و^۳ ۱ در مقایسه با افزایش^۴ ۱ اندکی به تأخیر می‌افتد.

- در یک سرعت برش یکسان در زمان ماکسیمم منحنی، مقدار^۵ ۷ بزرگتر از^۶ ۲ و مقدار^۷ ۲ بزرگتر از^۸ ۱ است.

نتایج دیگری از مقایسه شکل‌های ۴-۶ در آزمایش آسودگی بدست می‌آید که به صورت زیر است:

- ۲۰٪ لایخیلی سرعت از^۹ ۶ و^{۱۰} ۲ آسوده می‌شود.

- ۷۰٪ ۱۰٪ شبیه به هم آسوده می‌شوند.

نتایج حاصل به صورت کیفی روند قابل انتظاری از رفتار رئولوژیکی پلیمرهای امتراج پذیر را ارائه می‌کند.

نتایج شکل‌های ۱۰-۱۲، که مقایسه پیش‌بینی مدل با داده‌های تحریکی است، نشان می‌دهد که پیش‌بینی مدل همپوشانی مناسبی با داده‌های تحریکی دارد.

نتیجه‌گیری

در این پژوهش، یک مدل از نوع حجم ثابت با استفاده از روش عمومی پواسون-براکت برای آمیخته پلیمری امتراج پذیر پیشنهاد شده است. نتایج حاصل نشان می‌دهد که با انتخاب تابع انرژی و تانسور تحرک پذیری مناسب برای یک آمیخته پلیمری امتراج پذیر می‌توان پیش‌بینی قابل قبولی از رفتار رئولوژیکی پلیمرهای امتراج پذیر داشت. در این مدل با انتخاب مناسب پارامترهای مدل، رفتار رئولوژیکی قابل انتظار برای آمیخته‌های پلیمری امتراج پذیر در آزمایش‌های آغاز و آسودگی و جریان برشی حالت پایدار بدست آمده است. از قابلیتهای

- ۱ علاوه و نشانه‌ها
- ۲ لافضای پیکربندی
- ۳ تانسور صورت‌بندی
- ۴ انرژی داخلی سیستم
- ۵ چگالی اندازه حرکت سیستم
- ۶ آنتروپی سیستم
- ۷ هامیلتونی سیستم
- ۸ مشتق جزئی
- ۹ گرادیان
- ۱۰ تانسور تحرک پذیری
- ۱۱ اندازه حرکت
- ۱۲ ضریب یا شمارنده
- ۱۳ ماتریس غیرایزوتروپ گرانروی
- ۱۴ تانسور تنش
- ۱۵ عملگر
- ۱۶ تابع انرژی جزء ۱
- ۱۷ انرژی آزاد هلمولتر
- ۱۸ ضرایب جمله‌های تانسور تحرک پذیری
- ۱۹ معکوس تانسور صورت‌بندی
- ۲۰ تانسور واحد
- ۲۱ پارامتر مدل برای جزء ۱
- ۲۲ پارامتر مدل برای اثر اختلاط جزء ۱ و ۲
- ۲۳ پارامتر مدل برای جزء ۱
- ۲۴ پارامتر مدل برای اثر اختلاط جزء ۱ و ۲
- ۲۵ جزء وزنی اختلاط
- ۲۶ تابع انرژی اثر اختلاط اجزا
- ۲۷ تانسور شدت برش
- ۲۸ تانسور سرعت برش
- ۲۹ اولین ضریب اختلاف تنشهای نرمال
- ۳۰ دومین ضریب اختلاف تنشهای نرمال
- ۳۱ ضریب ثابت در تانسور تحرک پذیری جزء ۱
- ۳۲ بخش متغیر تانسور تحرک پذیری

- Rheology of Viscoelastic Polymer Media". *Rheol. Acta.*; **15**, 85-98, 1976.
2. Ramazani A., Rheological Behavior of Thermoplastic Composites. PhD Thesis, Sharif University of Technology, Department of Chemical Engineering, 1999.
3. Beris A. N. and Edward B. J., "Poisson Broeket Formulation". *J. Rheol.*; **34**, 4 May 1990.
4. Ramazani A. Ait-Kadi and Grmela M., "Rheological Modeling of Short Fiber Thermoplastics Composites". *J. Non-Newtonian Fluid Mech.*; **73**, 241-60, 1997.
5. Grmela M. and Ottinger H. C., "Dynamics and Thermodynamics of Complex Fluids Development of a Generic Formalism", *Phys. Rev. E*; **55**, 6620-32, 1997.
6. Grmela M., "Hamiltonian Dynamics of in Compressible Elastic Fluids", *Phys. Lett.*; **A130**, 81-6, 1988.
7. Grmela M., "Bracket Formulation of Dissipative Time Evolution Equations", *Phys. Lett.*; **111 A**, 36-40, 1985.
8. Vajenza A., "The Rheological Behavior of HDPE/LDPE Blends". *J. Rheol.*; **30**, 1085-92, 1986.

مراجع

1. Bird R. B., Hassager R. G. Armstrong and Curtis C.; *Dynamics of Polymeric Liquids*; 2. Wiley and Sons, New York, 1997.
2. Kirkwood J. G. M.; *Macromolecules in Documents in Modern Physics*; Gordon A. and Breach (Eds.), New York 1997.
3. Hand G. L., "A Theory of Anisotropy Fluids", *J. Fluid Mech.*; **13**, 33-46, 1962.
4. Maugin G. A. and Drouot R., "Internal Variables Thermodynamics of Macromolecule Solutions", *J. Eng. Sci.*; **21**, 705-24, 1983.
5. Grmela M., "Dependence of the Stress Tensor on the Inter Molecular Viscosity", *J. Rheol.*; **33**, 2207-31, 1989.
6. Leonov A. I., "None Equilibrium Thermodynamics and